

Министерство высшего и среднего специального образования РСФСР

Горьковский ордена Трудового Красного Знамени
научно-исследовательский радиофизический институт (НИРФИ)

Препринт № 178

МЕТОД КОРРЕЛЯЦИИ ПОПЕРЕЧНЫХ ОТКЛОНЕНИЙ ЗОНДА
ПРИ ИЗМЕРЕНИЯХ БЛИЖНЕГО ПОЛЯ АНТЕНН НА ПЛОСКОСТИ

А. В. Калинин
И. А. Шмонин

Горький 1984

УДК 62..396.67

Рассматривается метод фазовой коррекции результатов измерения на плоскости ближнего поля антенны. Приводится описание установки для измерения отклонений зонда от плоскости сканирования. Получены соотношения для допустимых величин этих отклонений. Приведены результаты применения метода к модели ближнего поля.



© Горьковский ордена Трудового Красного Знамени научно-исследовательский радиофизический институт (НИРФИ)

При измерениях ближнего поля антенн требуется высокая точность перемещения измерительной антенны-зонда по заранее заданной поверхности. В работах [1, 2] приводятся требования на допустимые продольные и поперечные отклонения зонда. При этом требования на отклонения, перпендикулярные волновому фронту прожекторного луса исследуемой антенны Δz , определяются из принципов геометрии и связаны с эквивалентной погрешностью определения фазы сигнала $\Delta\varphi$ следующим соотношением [3] :

$$\Delta z \leq \lambda \frac{1}{\cos\theta} \frac{\Delta\varphi(\text{град})}{360}, \quad (I)$$

где 2θ – размер углового сектора, в котором восстанавливается диаграмма направленности антенны, λ – рабочая длина волны.

При исследованиях крупных антенн реализация движения зонда с такой точностью требует создания сложных и дорогих механических систем перемещения (сканирования) зонда, а иногда становится вообще невозможной. В связи с этим возникает интерес [4] к созданию и применению в антенных измерениях специальных систем, измеряющих отклонения зонда от поверхности сканирования и позволяющих существенно снизить требования к точности перемещения зонда за счет учёта измеренных отклонений при обработке результатов измерений ближнего поля.

Рассмотрим стенд для исследования ближнего поля, в котором измерительный зонд движется над испытуемой антенной вдоль линии на горизонтально ориентированной поверхности (см. рис. I).

Анализ отклонений зонда от горизонтальной плоскости при больших

геометрических размерах сканера затруднен в условиях работы в непрерывном режиме перемещения зонда, в отличие от старт-стопного режима [4], где после установки зонда в фиксированное положение x_i, y_j координат сканера производится переключение фазирующих элементов антены. Во время переключений зонд неподвижен и с помощью лазерного интерферометра определяется абсолютное положение зонда вдоль оси z , см. рис. I. Нами разработана лазерная система контроля положения

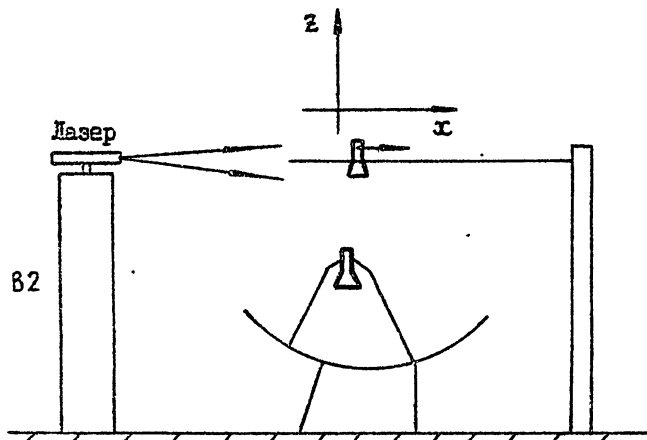
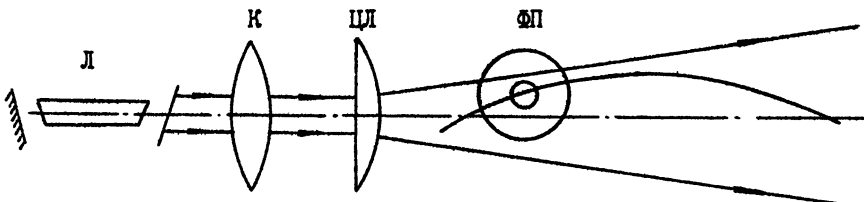


Рис. I

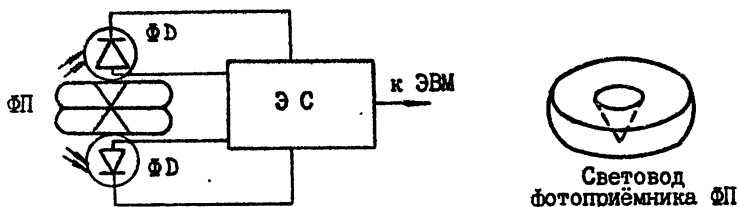
зонда, состоящая из стационарной вышки (В2) (см. рис. I) с размещенной на ней лазерной и оптической системой развертывания светового луча в сектор, фотоприемника с электронной системой, анализирующей положение зонда относительно неподвижного^{+) пучка света. Схема измерительной системы приведена на рис. 2, 3. На ней показано, как коллимированный пучок лазера расширяется по одной координате цилиндрической линзой в секторе, охватывающем траекторию передвижения зонда. В такой конструкции свет падает на фотоприемник, жестко связанный с зондом, в довольно широком секторе углов. В ка-}

⁺⁾ С точностью до флуктуаций положения лазера, вызванных механическим воздействием ветра, вибрациями транспортных средств. Минимизация воздействия определяется специальной конструкцией вышки.

честве приёмного элемента использованы специальные световоды, см. рис. 3, которые собирают лучи света с любого азимутального направления ($0 \div 360^\circ$) на фотодиоды, размещенные в центре световода. Лабораторные исследования системы определения вертикального отклонения



Р и с. 2 Л - лазер, К - коллиматор, ЦЛ - цилиндрическая линза, ФП - фотоприёмник



Р и с. 3 ЭС - электронная система, ФД - фотодиоды

фотоприёмника от "лазерного горизонта" (ось пучка света неподвижного лазера) показали, что точность её составляет величину $\pm 0,1$ мм в диапазоне ± 20 мм на расстоянии 25 м от источника света. Источником света является Не-Не лазер, работающий в одномодовом режиме. Подробное описание оптической схемы устройства контроля и методика анализа её точности опускаем для краткости изложения.

Оценим значения таких отклонений зонда Δz от горизонтальной плоскости $z = 0$, учёт которых в обработке ближнего поля $E(x, \Delta z(x))$, измеренного на этой "неровной" поверхности, ограничится введением лишь фазовой коррекции с сохранением алгоритма вычисления диаграммы направленности $f(\theta)$ в виде преобразования Фурье:

$$f(\theta) = \frac{\sqrt{2\pi}}{\lambda} \cos \theta e^{-i\frac{\pi}{4}} \int_{-\infty}^{+\infty} E(x, \Delta z(x)) e^{-ikx \sin \theta - ikz(x)} dx.$$

Для совпадения диаграммы направленности $f(\theta)$ с "истинной" диаграммой, вычисленной по распределению ближнего поля на плоскости $z=0$, необходимо выполнение следующего условия:

$$\frac{\sqrt{2\pi}}{\lambda} \cos \theta e^{-i\frac{\pi}{4}} \int_{-\infty}^{+\infty} \frac{e^{-ik(2x - x_0 \sin \theta) - ik\Delta z(x)}}{\sqrt{K r_\Delta}} = (-\Delta a) e^{i\Delta\varphi} e^{ik(x_0 \sin \theta - z_0 \cos \theta)}, \quad (2)$$

где $r_\Delta = \sqrt{(x - x_0)^2 + (z_0 + \Delta z)^2}$ – расстояние от точки $(x, \Delta z)$ поверхности сканирования до точки (x_0, z_0) на раскрыве чтении. Значения Δa и $\Delta\varphi$, характеризующие эквивалентное искажение амплитуды и фазы поля на раскрыве, для оценок можно принять допустимыми, как в [5]: $\Delta a \approx 0,03 + 0,05$; $\Delta\varphi \approx 3^\circ + 5^\circ$.

Интеграл в соотношении (2) вычисляется методом стационарной фазы. Координата точки стационарной фазы как функция отклонений Δz может быть найдена разложением по степеням Δz вблизи "невозмущенной" точки стационарной фазы (при $\Delta z = 0$) в следующем виде:

$$x_{\text{стаци}} = x_0 + z_0 \operatorname{tg} \theta \left[1 + \frac{\Delta z}{z_0} + \frac{1 - \cos \theta}{\sin \theta \cos^2 \theta} \Delta z' x + O\left(\left(\frac{\Delta z}{z_0}\right)^2\right) \right],$$

$$\frac{\Delta z}{z_0} \ll 1, \quad \Delta z'_x (x_{\text{стаци}}^0) \ll 1.$$

При этом соотношение (2) выполняется со следующими значениями параметров:

$$\begin{aligned} \Delta a &\approx \frac{1}{4} \left(\frac{\Delta z}{z_0} \right)^2, \quad \theta \ll 1, \\ \Delta\varphi &= K \Delta z (1 - \cos \theta) + O\left(\frac{\Delta z^2}{\lambda z_0}\right). \end{aligned} \quad (3)$$

Как видно из выражения (3) для Δa , отклонения зонда эквивалентны незначительным искажениям амплитуды тока на раскрыве, и к искажениям величиной 3–5% могут привести отклонения $\Delta z \sim 0,3 z_0$, на практике не реализуемые. Следовательно оценка допустимых величин отклонений зонда может быть сделана из условия на эквивалентное искажение фазы тока на раскрыве, которое принимает вид

$$|K \Delta z (1 - \cos \theta)| \leq \Delta\varphi = 3 \div 5^\circ$$

или

$$\Delta z = \lambda \frac{1}{1 - \cos \theta} \frac{\Delta \varphi (\text{град})}{360^\circ} \quad (4)$$

Для параметров θ и $\Delta \varphi$, обычно представляющих интерес при измерениях ближних полей антенн, приведем численные значения условий (I) и (4):

$$\Delta z \leq 0,01\lambda \quad , \quad \theta - \text{любое}, \quad \Delta \varphi \sim 3^\circ, \quad (I')$$

$$\Delta z \leq \begin{cases} 2\lambda, & \theta \leq 5^\circ \\ 0,25\lambda, & \theta \leq 15^\circ \end{cases}, \quad \Delta \varphi \sim 3^\circ. \quad (4')$$

Сравнение условий (I') и (4') показывает, что измерение реального положения зонда в каждой точке поверхности сканирования и введение дополнительной фазовой коррекции в обработку существенно снижает требования к точности перемещения зонда.

Проверка алгоритма вычисления направленности антенны по её ближнему полю, измеренному на "шероховатой" поверхности, проводилась на модели ближнего поля круглой апертуры, полученной в работе [6] и имеющей аналитический вид:

$$E_y^{+}(x, z) = \left\{ \begin{array}{l} e^{-ikz} \\ 0 \end{array} \right\} + 2e^{-i\frac{\pi}{4}} \sqrt{\frac{a}{\pi x}} \left\{ \operatorname{tg} \theta_2 \cos\left(\frac{\theta_2}{2} + \frac{\pi}{4}\right) e^{-ikR_{2x}} \right. \\ \times F\left[\sqrt{kR_2(1-\sin\theta_2)}\right] + i \operatorname{tg} \theta_1 \cos\left(\frac{\theta_1}{2} + \frac{\pi}{4}\right) e^{-ikR_1} F\left[\sqrt{kR_1(1-\sin\theta_1)}\right] \left. \right\},$$

где θ_1 и θ_2 - углы, под которыми "видна" точка ближнего поля с координатами (x, z) из краев апертуры, $R_1 = \sqrt{(x-D/2)^2 + z^2}$ и $R_2 = \sqrt{(x+D/2)^2 + z^2}$ - расстояния от точки (x, z) до краев апертуры, $F(x) = \exp(ix^2) \int_x \exp(-it^2) dt$ - интеграл Френеля.

Геометрические размеры задачи - отношение диаметра апертуры и расстояния от раскрыва до поверхности сканирования к длине волны соот-

+) Плоская волна и разность краевых волн соответствуют точкам ближнего поля с координатами $|x| > D/2$, ноль и сумма краевых волн - точкам с координатами $|x| > D/2$.

ветствовали размерам стенда, описанного выше, и составляли величины:
 $D/\lambda = 120$, $Z_0/\lambda = 60$.

Траектория отклонений зонда от плоской поверхности представлялась в виде суммы трех гармонических колебаний разных частот⁺⁾, суммарная амплитуда Δz которых являлась параметром модели

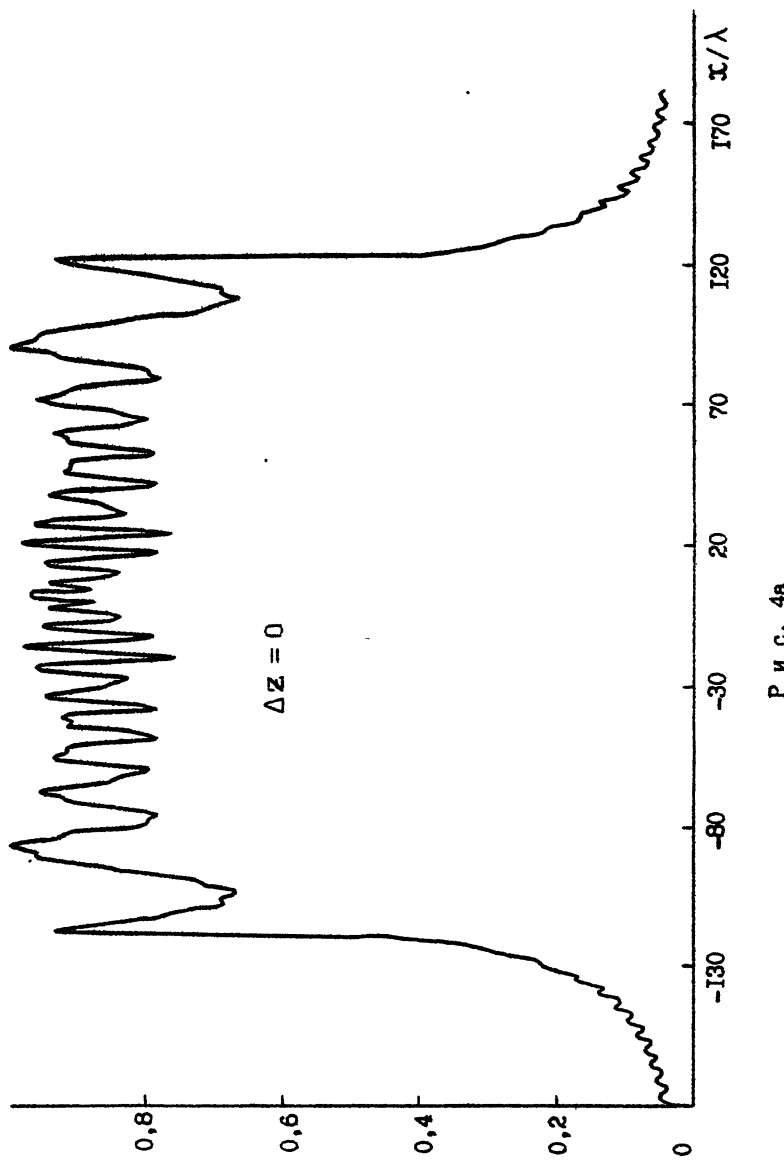
$$z = \Delta z \left[\frac{1}{2} \cos \frac{\pi x}{D} + \frac{1}{3} \cos \left(4 \frac{\pi x}{D} + \frac{\pi}{2} \right) + \frac{1}{6} \cos \left(10 \frac{\pi x}{D} + \frac{\pi}{3} \right) \right].$$

На рис. 4 и 5 приведены сечения амплитуды и фазы ближнего поля на линии $z = z_0 + \Delta z$, рассчитанные для нескольких значений параметра Δz . Результаты вычисления диаграммы направленности антенны по ближнему полю на "неровной" поверхности с использованием фазовой коррекции и без неё для нескольких значений параметра Δz показаны соответственно на рис. 7, 6.

Малое отличие диаграммы восстановленной при достаточно больших для практики "неровностях" поверхности сканирования (при $\Delta z = 2\lambda$, см. рис. 7) от "истинной" диаграммы ($\Delta z = 0$) подтверждает целесообразность проведения фазовой коррекции при измерениях ближнего поля антенн.

⁺⁾ Такая модель отклонений оправдана как технологическими причинами — колебаниями стрелы сканирующего устройства, так и условием максимального влияния периодических отклонений на боковые лепестки восстанавливаемой диаграммы направленности.

Амплитуда



10
Амплитуда

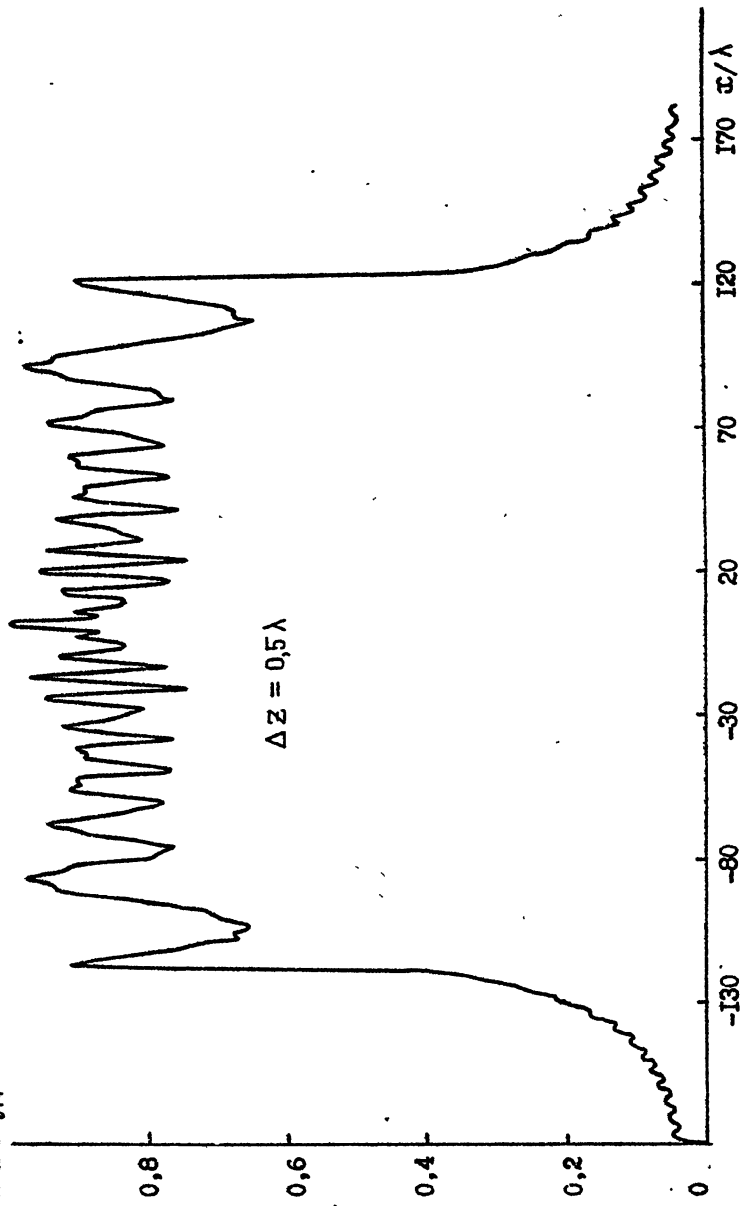
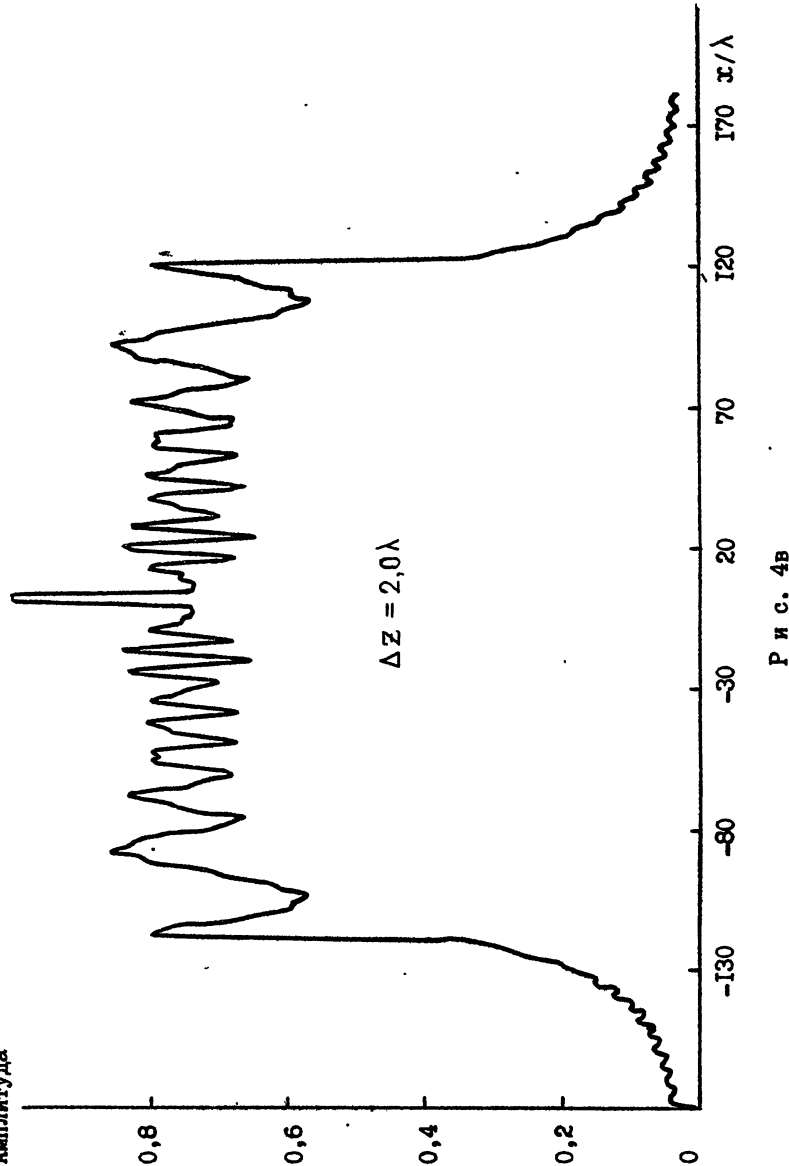


Рис. 4б

Амплитуда



II

Δz , град

$$\Delta z = 0$$

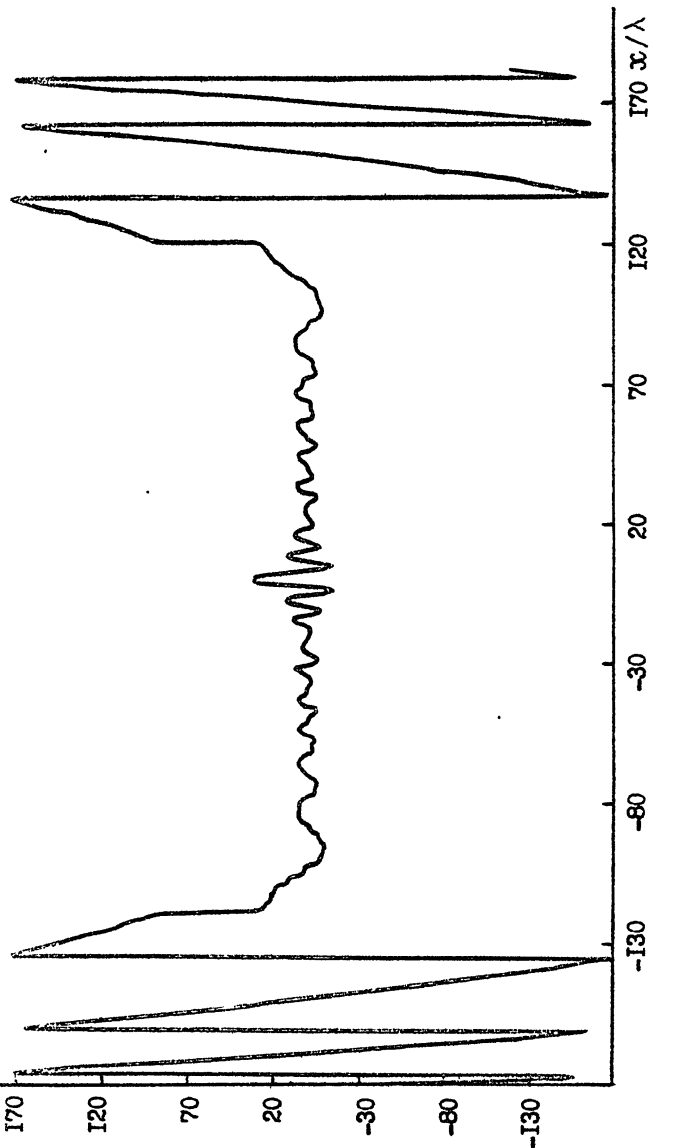
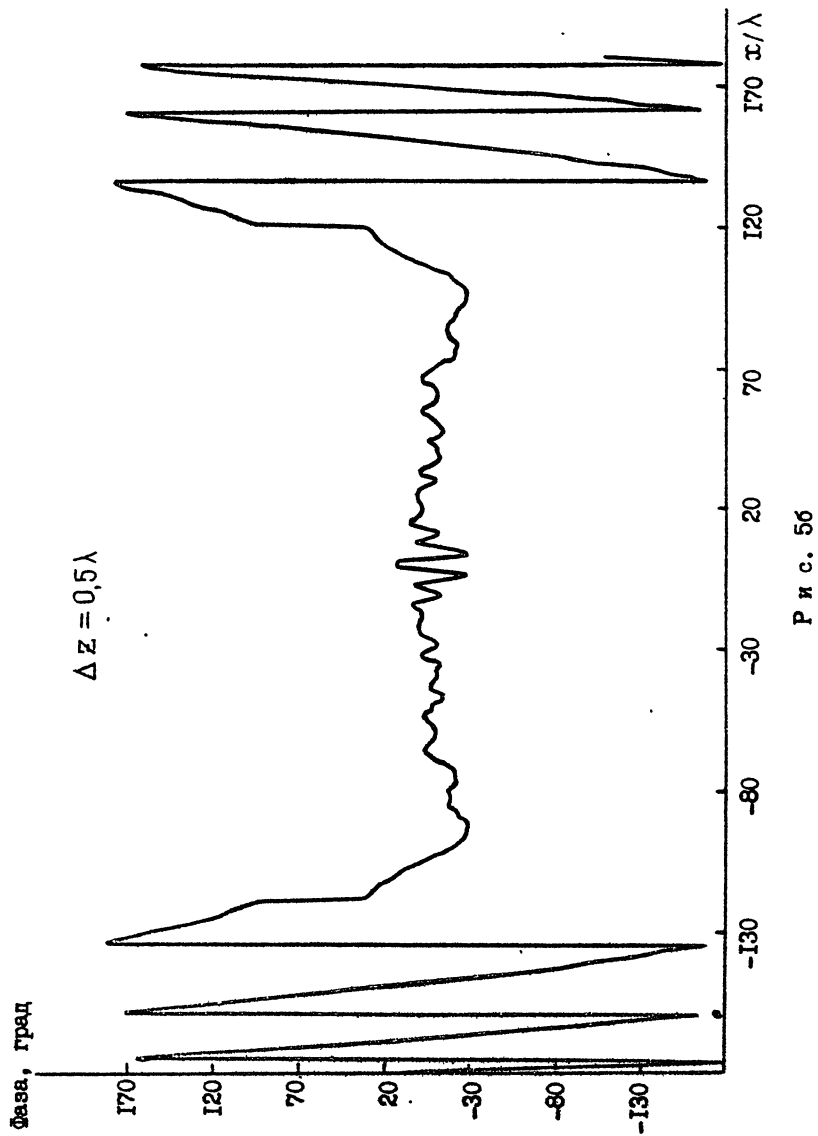
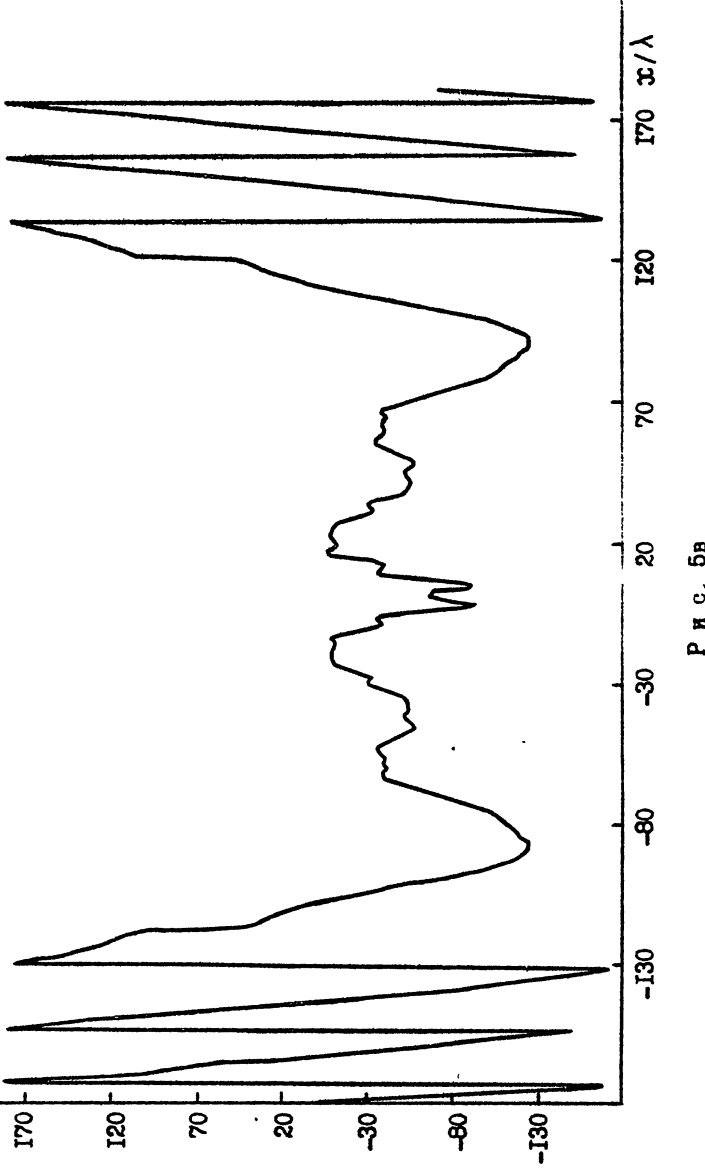


Рис. 5а

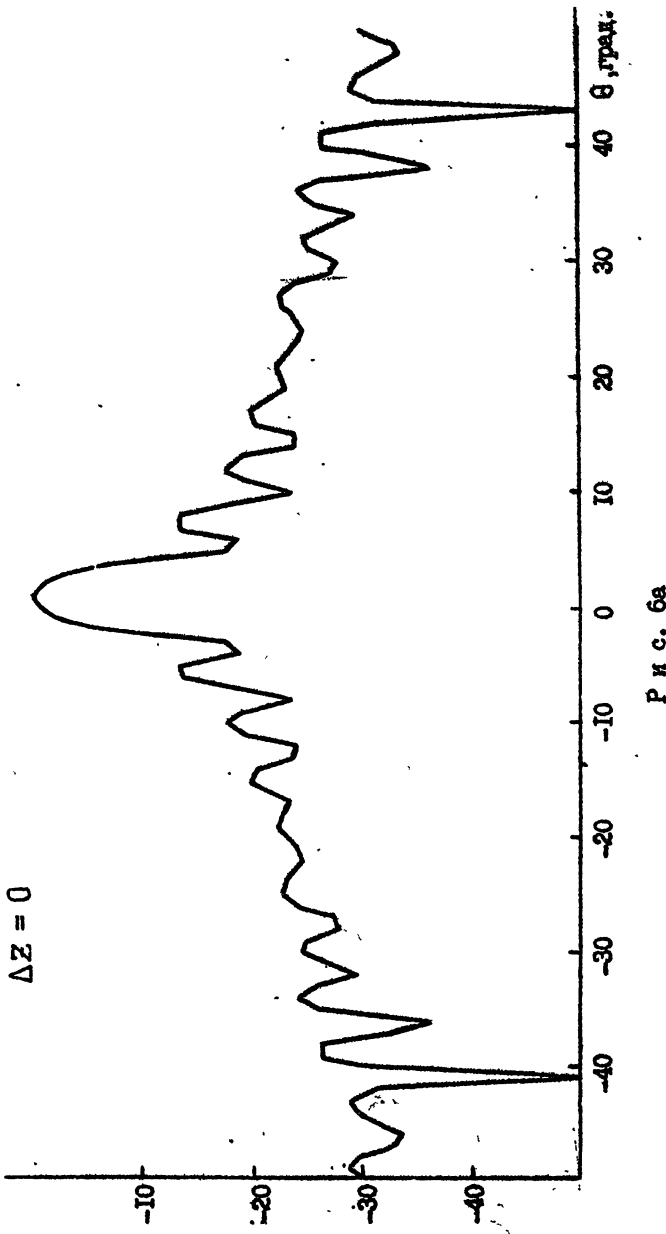


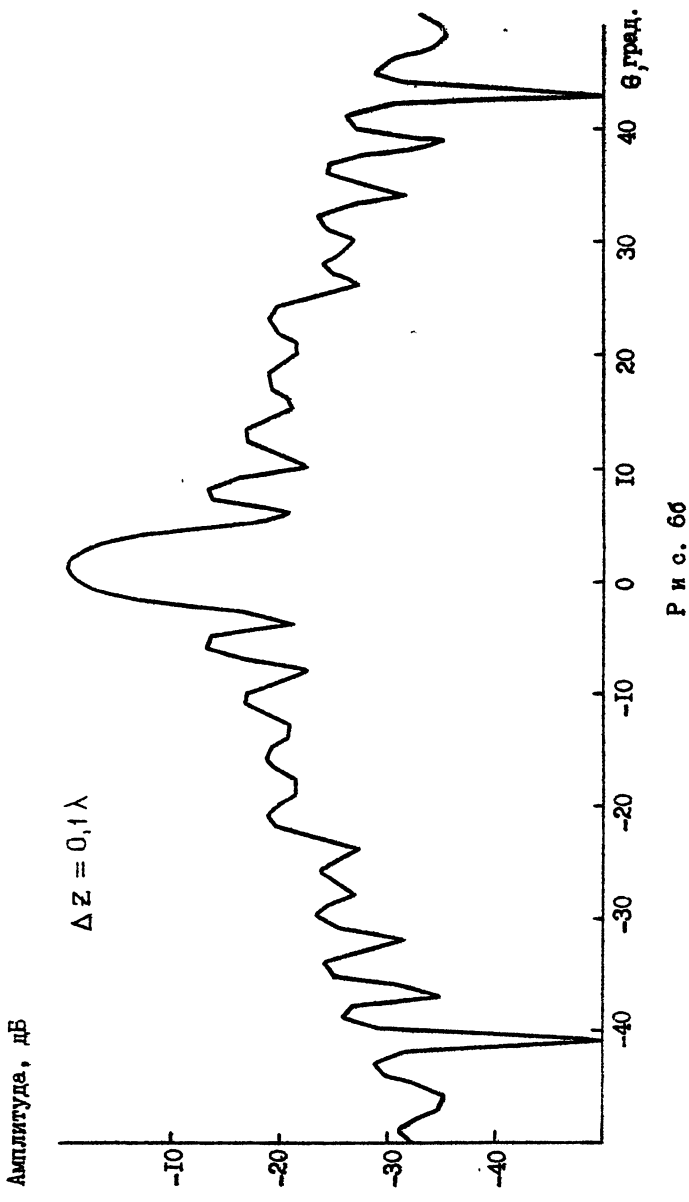
Фаза, град

$$\Delta Z = 2,0 \lambda$$



Амплитуда, дБ





Амплитуда, дБ

$\Delta z = 0,5\lambda$

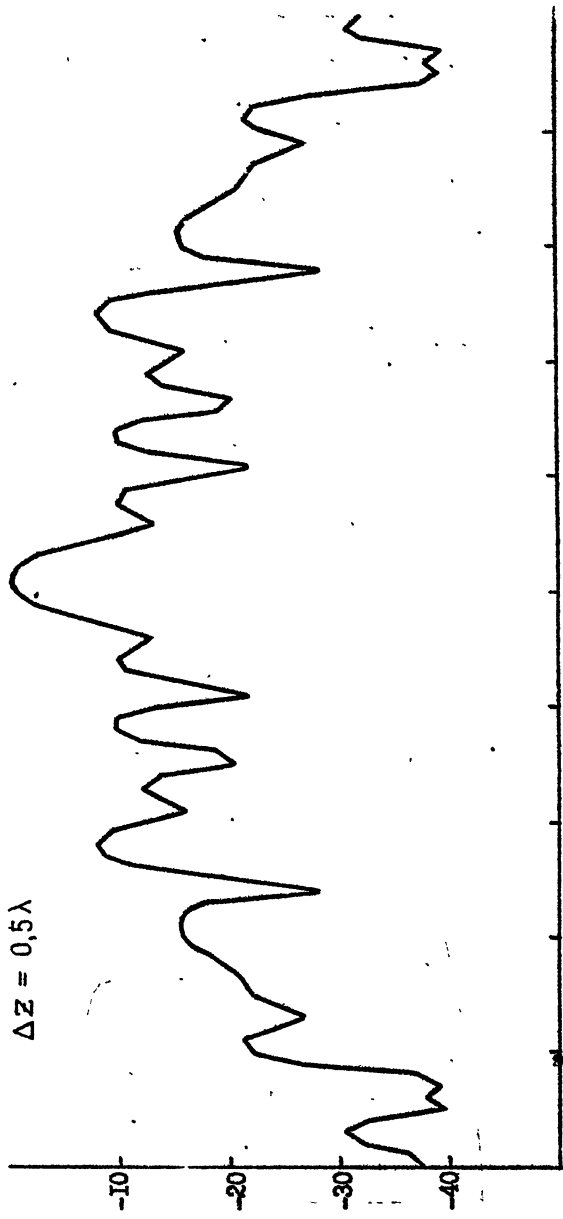
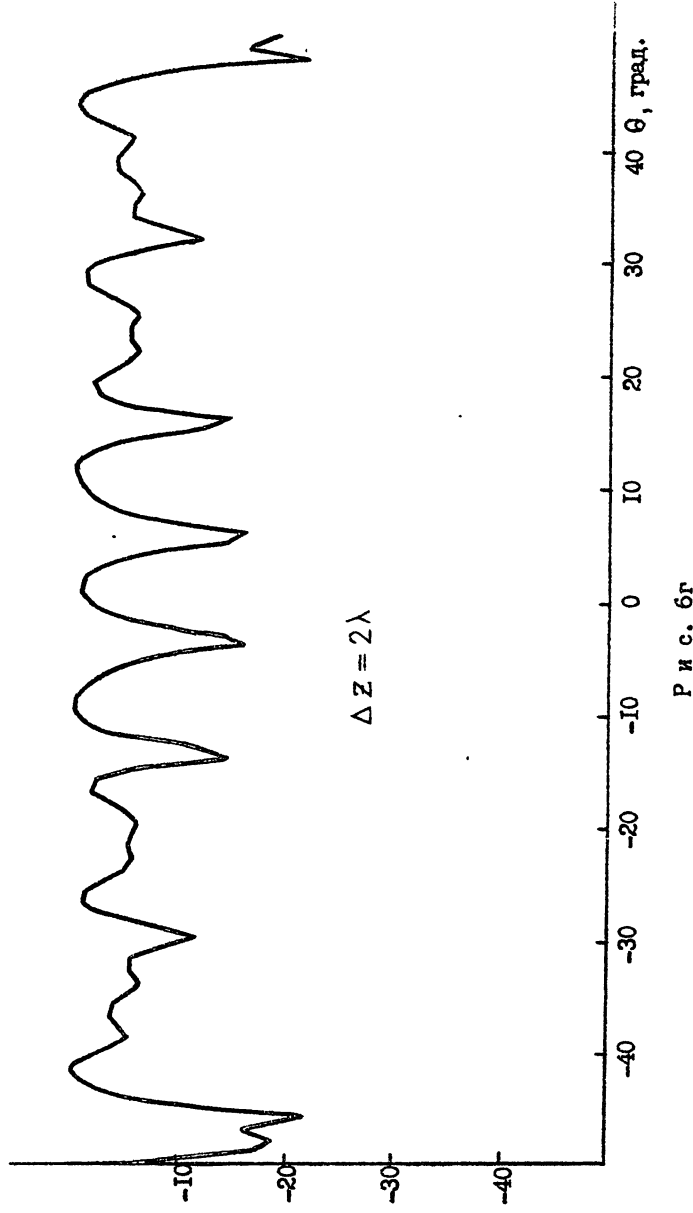


Рис. 6в

Амплитуда, дБ



Амплитуда, дБ

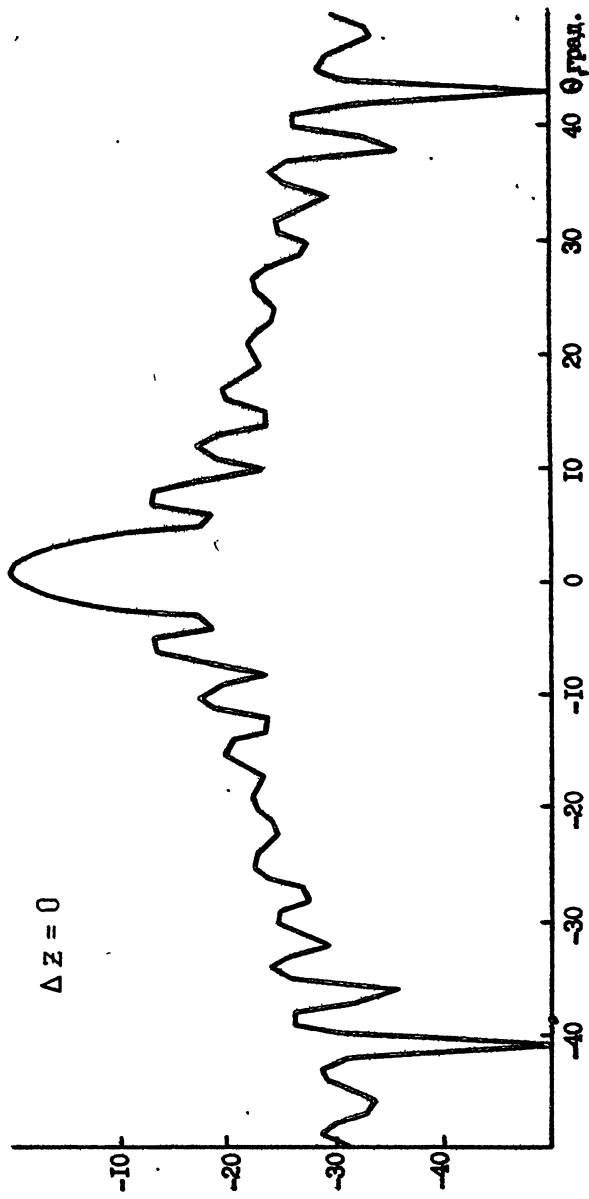
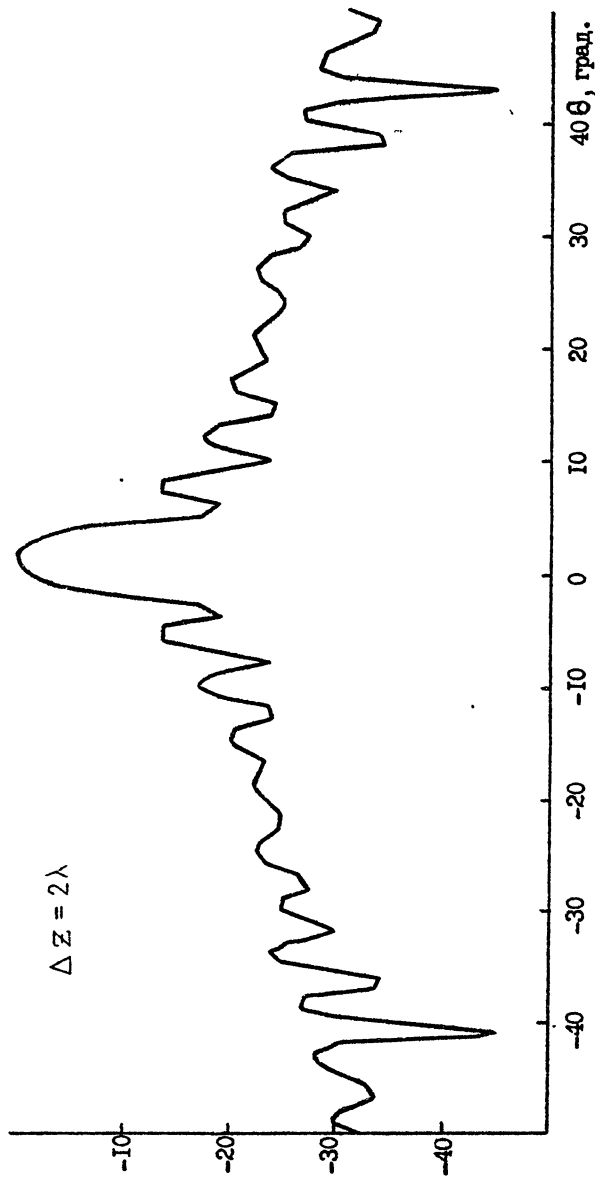


Рис. 7а

Амплитуда, дБ

$$\Delta z = 2\lambda$$



Р и с. 7б

Л и т е р а т у р а

1. Турчин В.И., Цейтлин Н.М. Амплифазометрический метод антенных измерений (обзор). - Радиотехника и электроника, 1979, т. XXIV , № 12, с. 23 - 82.
2. A.C.Newell, A.D.Yaghjian, Internat.IEEE/AP-S Symp., Urbana, 1975, p.470.
3. Отчёт по НИР "Голография", НИРЭИ, 1978, № г.р. 78008044.
4. J.Borowick, etc. A near-field antenna measurement system.-IEEE Trans., IM.v.32,N1, 1983.
5. Шифрин Я.С. Вопросы статистической теории антенн. - М.: Сов. радио, 1970.
6. R.C.Rudduck,C.-L.J.Chen. New plane wave spectrum formulations for the near-fields of circular and strip apertures.-IEEE Trans. AP, 1976,v.24,E4.

Дата поступления статьи
2 апреля 1984 г.

Андрей Владимирович КАЛИНИН

Иван Александрович ШМОНИН

МЕТОД КОРРЕКЦИИ ПОПЕРЕЧНЫХ ОТКЛОНЕНИЙ ЗОНДА
ПРИ ИЗМЕРЕНИЯХ БЛИЖНЕГО ПОЛЯ АНТЕНН НА ПЛОСКОСТИ[®]

Подписано в печать 01.06.84 г. МЦ 01287. Формат 60 x 84 1/16
Бумага множительная. Печать офсетная. Объем 1,29 усл. л. лист.
Тираж 120. Заказ 4042. Бесплатно.

Отпечатано на ротапринте НИРФИ.